

UNIVERSIDADE FEDERAL DE PELOTAS
Centro de Desenvolvimento Tecnológico
Programa de Pós-Graduação em Computação



Dissertação

Escalonador de Transações para Arquiteturas NUMA

Michael Alexandre Costa

Pelotas, 2020

Michael Alexandre Costa

Escalonador de Transações para Arquiteturas NUMA

Dissertação apresentada ao Programa de Pós-Graduação em Computação do Centro de Desenvolvimento Tecnológico da Universidade Federal de Pelotas, como requisito parcial à obtenção do título de Mestre em Ciência da Computação.

Orientador: Prof. Dr. André Du Bois

Pelotas, 2020

Insira AQUI a ficha catalográfica
(solicite em <http://sisbi.ufpel.edu.br/?p=reqFicha>)

Dedico...

AGRADECIMENTOS

Agradeço...

Só sei que nada sei.

— SÓCRATES

RESUMO

COSTA, Michael Alexandre. **Escalonador de Transações para Arquiteturas NUMA**. Orientador: André Du Bois. 2020. 39 f. Dissertação (Mestrado em Ciência da Computação) – Centro de Desenvolvimento Tecnológico, Universidade Federal de Pelotas, Pelotas, 2020.

...

Palavras-chave: Memórias Transacionais - TM. Non-Uniform Memory Access - NUMA. Escalonador.

ABSTRACT

COSTA, Michael Alexandre. **Transaction Scheduler for NUMA Architectures**. Advisor: André Du Bois. 2020. 39 f. Dissertation (Masters in Computer Science) – Technology Development Center, Federal University of Pelotas, Pelotas, 2020.

...

Keywords: Transactional Memory - TM. Non-Uniform Memory Access - NUMA. Scheduler.

LISTA DE FIGURAS

1	Exemplo de versionamento adiantado (a) e atrasado (b). Fonte: (BALDASSIN, 2009)	17
2	Detecção de conflitos em modo adiantado. Fonte: (RIGO; CENTO- DUCATTE; BALDASSIN, 2007)	18
3	Detecção de conflitos em modo atrasado. Fonte: (RIGO; CENTO- DUCATTE; BALDASSIN, 2007)	19
4	Estruturas de dados utilizadas na <i>tinySTM</i> . Fonte: (FELBER; FET- ZER; RIEGEL, 2008)	20
5	Nome da figura	31

LISTA DE TABELAS

1	Nome da Tabela	15
---	--------------------------	----

LISTA DE ABREVIATURAS E SIGLAS

TM	Memórias Transacionais
STM	Memórias Transacionais em Software
NUMA	Non-Uniform Memory Access
UMA	Uniform Memory Access

SUMÁRIO

1	INTRODUÇÃO	14
1.1	Motivação	14
1.2	Objetivos	14
1.2.1	Objetivo geral	14
1.2.2	Objetivos específicos	14
1.3	Estrutura do Texto	14
2	MEMÓRIAS TRANSACIONAIS	16
2.1	Propriedades	16
2.2	Versionamento de Dados	17
2.3	Deteccão de Conflito	17
3	TINYSTM	20
3.1	Sincronização e Versionamento	20
3.2	Escritas	22
3.3	Leituras	22
3.4	Gerenciamento de Memória	22
3.5	Gerenciador de Contenção	22
4	ESCALONADORES	24
5	ARQUITETURAS	25
5.1	HwLoc	25
6	SHRINK	26
7	STAMP	27
7.1	Bayes	27
7.2	Genome	27
7.3	Intruder	28
7.4	Kmeans	28
7.5	Labyrinth	28
7.6	SSCA2	29
7.7	Vacation	29
7.8	Yada	29
8	METODOLOGIA	30
9	DESENVOLVIMENTO	31

10 CONCLUSÃO	32
10.1 Resultados	32
REFERÊNCIAS	33
APÊNDICE A UM APÊNDICE	36
ANEXO A UM ANEXO	38
ANEXO B OUTRO ANEXO	39

1 INTRODUÇÃO

1.1 Motivação

... (?).

1.2 Objetivos

... 1.

1.2.1 Objetivo geral

...

1.2.2 Objetivos específicos

- ...; e
- ...

1.3 Estrutura do Texto

...

2 MEMÓRIAS TRANSACIONAIS

Memória Transacional, ou *Transactional Memory* (TM), é uma classe de mecanismos de sincronização que fornece uma execução atômica e isolada de alterações em um conjunto de dados compartilhados. Estas estão sendo desenvolvidas para que no futuro tornem-se o principal meio de fazer a sincronização em um programa concorrente, substituindo a sincronização baseada em *locks* (MORESHET; BAHAR; HERLIHY, 2006). As TMs podem ser implementadas em *software* (STM), em *hardware* (HTM) ou ainda em uma versão híbrida de *hardware* e *software*.

Na programação utilizando STMs, todo o acesso à memória compartilhada é realizado dentro de transações e todas as transações são executadas atomicamente em relação a transações concorrentes.

A principal vantagem na programação usando STM é que o programador apenas delimita as seções críticas e não é necessário preocupar-se com a aquisição e liberação de *locks*. Os *locks*, quando utilizados de forma incorreta, podem levar a problemas como *deadlocks* (BANDEIRA, 2010).

2.1 Propriedades

Transação é uma sequência finita de escritas e leituras na memória executada por uma *thread* (HERLIHY; ELIOT; MOSS, 1993), e deve satisfazer três propriedades:

- **Atomicidade:** cada transação faz uma sequência de mudanças provisórias na memória compartilhada. Quando a transação é concluída, pode ocorrer um *commit*, tornando suas mudanças visíveis a outras *threads* instantaneamente, ou pode ocorrer um *abort*, fazendo com que suas alterações sejam descartadas;
- **Consistência:** as transações devem garantir que um sistema consistente deve ser mantido consistente. Esta propriedade está relacionada com o conceito de invariância;
- **Isolamento:** as transações não interferem nas execuções de outras transações, assim parecendo que elas são executadas serialmente. Uma transação não

observa o estado intermediário de outra.

2.2 Versionamento de Dados

O versionamento de dados faz é responsável pelo gerenciamento das versões dos dados. Ele armazena tanto o valor do dado no início de uma transação como também o valor do dado modificado durante a transação, isso para garantir a propriedade de atomicidade (BALDASSIN, 2009).

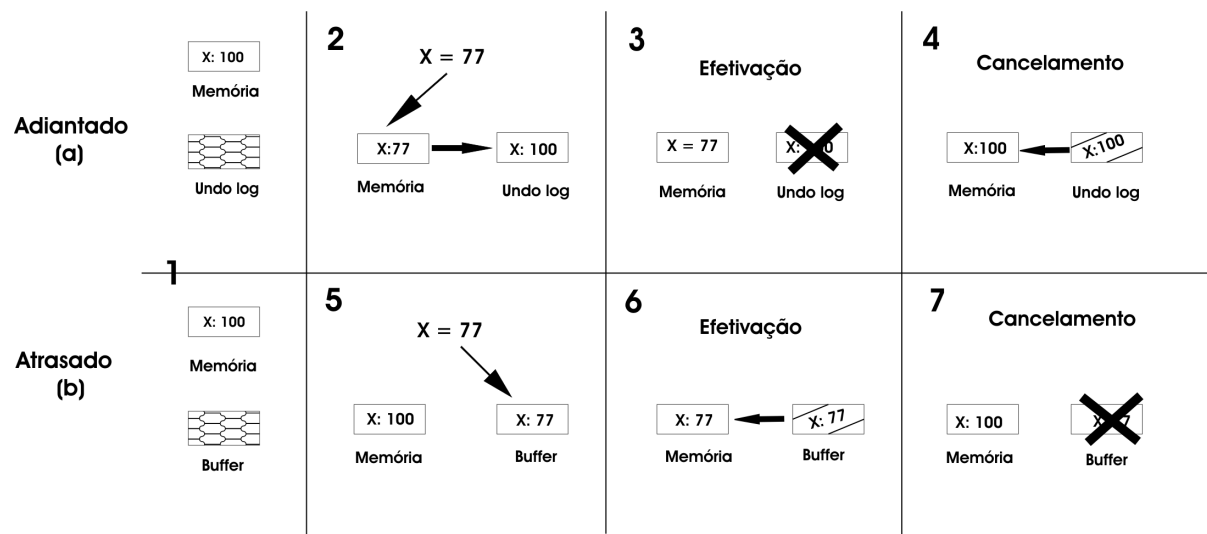


Figura 1 – Exemplo de versionamento adiantado (a) e atrasado (b). Fonte: (BALDASSIN, 2009)

Existem dois tipos de versionamento de dados:

- **Versionamento Adiantado:** como pode ser visto na Figura 1 (a), o valor modificado durante a transação é armazenado direto na memória e o valor inicial é armazenado em um *undo log*, para que no caso de cancelamento na transação o valor inicial seja restaurado na memória.
- **Versionamento Atrasado:** como pode ser visto na Figura 1 (b) neste versionamento o valor modificado durante a transação é armazenado em um *buffer* e o valor inicial é mantido na memória até que aconteça um *commit* na transação, onde o valor armazenado no *buffer* é escrito na memória. Caso aconteça o cancelamento na transação, o valor do *buffer* é descartado.

2.3 Detecção de Conflito

Mecanismos de detecção de conflitos verificam a existência de operações conflitantes durante uma transação. Um conflito ocorre quando duas transações estão

acessando um mesmo dado na memória e pelo menos uma das transações está fazendo uma operação de escrita (BALDASSIN, 2009).

Da mesma forma que o versionamento de dados, a detecção de conflito também pode ser de dois tipos:

- **Detecção de Conflitos Adiantado:** ocorrem no momento em que duas transações acessam um mesmo dado e uma delas faz uma operação de escrita. Essa operação de escrita é detectada e então uma transação é abortada. Neste tipo de detecção pode ocorrer um problema chamado de *livelock*, quando duas transações ficam cancelando-se, desta forma, a execução do programa não progride. A Figura 2 mostra como é feita a detecção de conflitos adiantado.

O Caso 1, mostra a execução sem conflitos, onde as duas transações são executadas sem problemas. Já o Caso 2, mostra o que acontece quando ocorre um conflito, onde T1 lê A e logo depois T2 escreve em A, então o conflito é detectado e T1 é abortada, após ser efetivada T2, a transação T1 consegue ler A sem problema de conflito. Por fim o Caso 3 mostra a situação de *livelock*, onde as duas transações tentam ler e escrever em A, assim as duas acabam sempre se abortando.

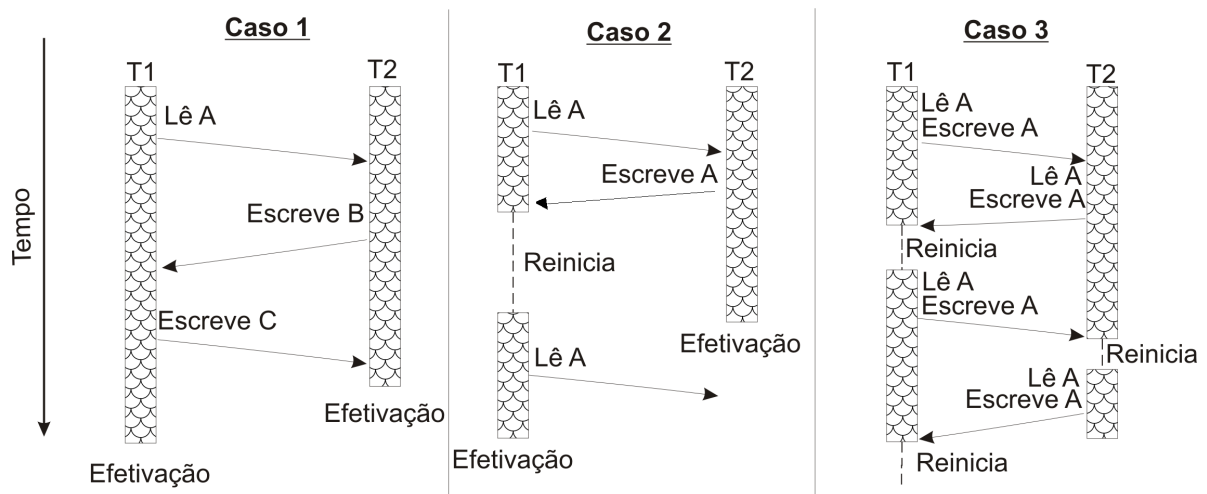


Figura 2 – Detecção de conflitos em modo adiantado. Fonte: (RIGO; CENTODUCCATTE; BALDASSIN, 2007)

- **Detecção de Conflitos Atrasado:** Este tipo de detecção de conflito ocorre no final da transação. Antes da transação ser efetuada, é verificado se ocorreu um conflito. Caso tenha ocorrido, a transação é cancelada, senão é efetivada. Para transações muito grandes não é recomendado este tipo de detecção, pois uma transação grande pode ser abortada várias vezes por transações pequenas, assim gastando tempo de processamento desnecessário, este problema se chama *starvation*. A Figura 3 mostra como é feita a detecção de conflitos atrasado.

O Caso 1, mostra as transações acessando dados diferentes, não ocasionando conflitos. No Caso 2, T2 lê A que é escrita por T1. A T2 só nota o conflito quando T1 é efetivado. Logo depois de notar o conflito T2 é abortada. No Caso 3 não ocorre nenhum conflito, pois T1 lê A antes de T2 escrever. O Caso 4 mostra a situação em que, após ser cancelada, T1 volta a executar.

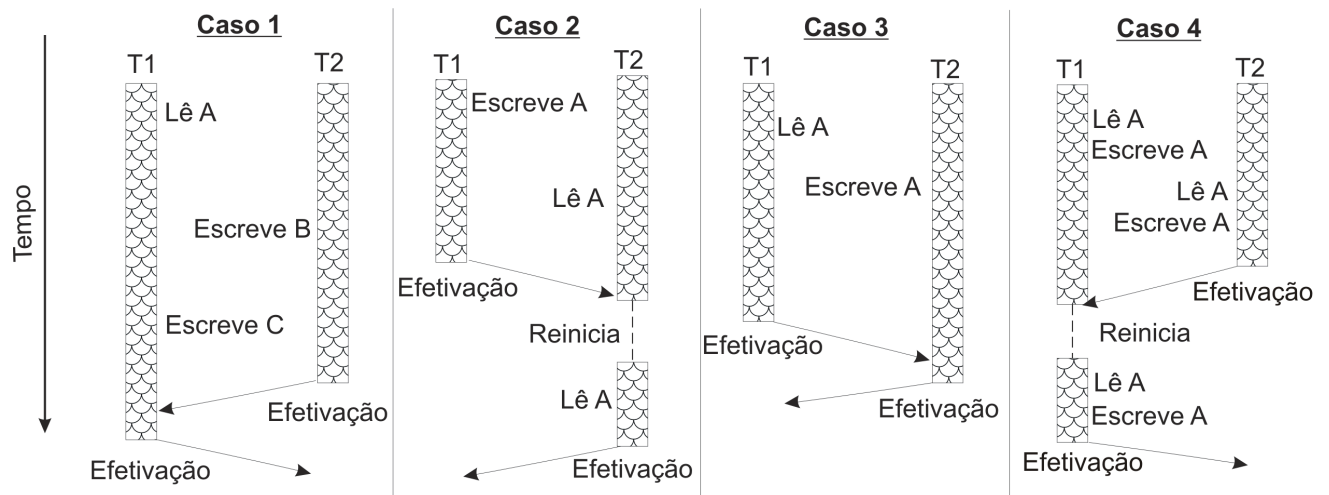


Figura 3 – Detecção de conflitos em modo atrasado. Fonte: (RIGO; CENTODUCATTE; BALDASSIN, 2007)

Para solucionar o problema de qual transação continuará executando, quando ocorre um conflito, é utilizado um gerenciador de contenção (HARRIS; LARUS; RAJWAR, 2010). O gerenciador de contenção é o responsável por decidir quando e qual transação vai ser abortada, isso para garantir que a execução do programa prossiga sem problemas.

O bit menos significativo é utilizado para indicar se o *lock* está em uso. Se o bit

menos significativo indicar que o *lock* não está em uso, nos bits restantes são armazenados um número de versão que corresponde ao *commit timestamp* da transação que escreveu por último em um dos locais de memória abrangidos pelo *lock*.

Se o bit menos significativo indica que o *lock* está em uso, então nos bits restantes é armazenado um endereço que identifica a transação que está utilizando o dado (isso utilizando o versionamento adiantado), ou uma entrada no *write set* da transação que está utilizando o dado (isso utilizando o versionamento atrasado). Em ambos os casos os endereços apontam para uma estrutura que é *word-aligned* e seu bit menos significativo é sempre zero, por isso, o bit menos significativo pode ser utilizado como bit de bloqueio.

Quando utilizado o versionamento atrasado, o endereço armazenado no *lock* permite uma operação rápida para localizar as posições de memória atualizadas abrangidas pelo *lock*, no caso de serem acessados novamente pela mesma transação. Em contraste, a TL2 deve verificar o acesso à memória se a transação atual ainda não escreveu neste endereço, o que pode ser caro quando *write sets* são grandes. A leitura depois da escrita não é um problema quando é utilizado o versionamento adiantado porque a memória sempre contém o último valor escrito na memória pela transação ativa.

A *tinySTM* apresenta três estratégias de versionamento distintas que podem ser utilizadas, sendo que duas utilizam versionamento atrasado (*write-back*) e uma utiliza versionamento adiantado (*write-through*), estas são:

- **Write_Back_ETL:** esta estratégia implementa o versionamento atrasado com *encounter-time locking*, isso é, o *lock* é adquirido após ocorrer uma operação de escrita e atualiza o *buffer*. O valor é escrito na memória no momento do *commit* da transação;
- **Write_Back_CTL:** esta estratégia implementa o versionamento atrasado com *commit-time locking*, isto é, ele adquire o *lock* antes de ocorrer o um *commit* e atualizar o *buffer*. Assim como no *Write-Back-ETL* o valor é escrito na memória no momento do *commit* da transação;
- **Write_Through:** esta estratégia implementa o versionamento adiantado com *encounter-time locking*, isto é, o valor é escrito direto na memória e mantém um *undo log*, caso ocorra um *abort* na transação é possível restaurar o valor anterior na memória.

A *TinySTM* utiliza *Write_Back_ETL* como sua estratégia de versionamento padrão.

3.2 Escritas

Quando ocorre uma escrita em um local da memória, a transação primeiro identifica o *lock* correspondente ao endereço de memória e lê o valor. Se o *lock* está em uso a transação verifica se é a proprietária do *lock* utilizando o endereço armazenado nos restantes bits de entrada. Caso a transação seja a proprietária então ela simplesmente escreve o novo valor e retorna. Caso contrário, a transação pode esperar por algum tempo ou abortar imediatamente. A *TinySTM* utiliza a última opção como padrão em sua implementação.

Se o *lock* não está em uso, a transação tenta adquiri-lo para escrever o novo valor na entrada utilizando uma operação atômica *compare-and-swap*. A falha indica que outra transação adquiriu o *lock* nesse meio tempo, então a transação é reiniciada.

3.3 Leituras

Quando ocorre uma leitura na memória, a transação deve verificar se o *lock* está em uso ou se o valor já foi atualizado concorrentemente por outra transação. Para esse fim, a transação lê o *lock* correspondente ao endereço de memória. Se o *lock* não tem proprietário e o valor (número de versão) não foi modificado entre duas leituras, então o valor é consistente.

3.4 Gerenciamento de Memória

A *TinySTM* utiliza um gerenciador de memória que possibilita qualquer código transacional utilizar memória dinâmica. As transações mantêm o endereço da memória alocada ou liberada. A alocação de memória é automaticamente desfeita quando a transação é abortada, já a liberação não pode ser desfeita antes do *commit*. Contudo uma transação pode somente liberar memória depois de adquirir todos os *locks*, assim, um *free* é semanticamente equivalente a uma atualização.

3.5 Gerenciador de Contenção

A *TinySTM* implementa quatro estratégias de gerenciador de contenção, estas são:

- **CM_Suicide:** nesta estratégia a transação que detecta o conflito é abortada imediatamente;
- **CM_Delay:** esta estratégia assemelhasse a *CM_Suicide*, porem, espera até que a transação que gerou o *abort* tenha liberado o *lock*, então reinicia a transação. Isto porque por intuição a transação a transação que foi abortada irá tentar adquirir o mesmo *lock* novamente, provavelmente falhando em mais de uma ten-

tativa. Esta estratégia aumenta as chances de que a transação tenha sucesso sem gerar um grande número de *aborts*, melhorando o tempo de execução do processador;

- **CM_Backoff**: também parecida com a *CM_Suicide*, esta estratégia espera um tempo randômico para reiniciar a transação. Este tempo de espera é escolhido ao uniformemente ao acaso em um intervalo cujo tamanho aumenta exponencialmente a cada reinicialização;
- **CM_Modular**: esta estratégia implementa vários gerenciadores de contenção, que são alternados durante a execução. Os gerenciadores utilizados são:
 - **Suicide**: a transação que descobriu o conflito é abortada;
 - **Aggressive**: é o inverso da *Suicide*, a transação abortada é a outra e não a que descobriu o conflito;
 - **Delay**: a mesma que a *Suicide*, mas aguarda pela resolução do conflito para reiniciar a transação;
 - **Timestamp**: a transação mais nova é abortada.

A *TinySTM* utiliza a *CM_Suicide* como sua estratégia padrão de gerenciamento de contenção.

4 ESCALONADORES

...

5 ARQUITETURAS

...

5.1 HwLoc

...

6 SHRINK

...

7 STAMP

STAMP (MINH et al., 2008) é um conjunto de *benchmarks* criado para pesquisa de memórias transacionais, composto por oito *benchmarks*. Apesar de desenvolvido para a STM TL2, com algumas modificações disponíveis pode ser usado no *TinySTM*. A versão do STAMP utilizada será a 0.9.10. O conjunto de *benchmarks* STAMP foi escolhido devido a ele implementar vários *benchmarks*, assim, atingindo uma maior área de aplicações das STM além de ser o conjunto de *benchmark* mais utilizado na pesquisa de STM.

Os *benchmarks* implementados pelo STAMP são (MINH et al., 2008):

7.1 Bayes

Esta aplicação implementa um algoritmo de aprendizado de redes Bayesianas, que é uma parte importante do aprendizado de máquina. Normalmente, nem as distribuições de probabilidades nem as dependências condicionais entre eles são conhecidas ou podem ser resolvidos por um ser humano, assim redes Bayesianas são frequentemente estudadas com os dados observados. O algoritmo específico implementa uma estratégia de *hill-climbing* ou subida de encosta que usa buscas locais e globais, semelhante à técnica descrita em (CHICKERING; HECKERMAN; MEEK, 1997). Para estimativas eficientes de distribuição de probabilidade, utiliza-se uma *adtree* ou árvore de decisão a partir de (MOORE; LEE, 1997).

7.2 Genome

Este *benchmark* implementa um programa de sequenciamento de genes que reconstrói a sequência de genes a partir de sequências maiores. O algoritmo usado para o sequenciamento de genes têm três fases:

1. Remove os segmentos duplicados utilizando uma *hash*;
2. Combina segmentos utilizando o algoritmo de pesquisa de sequência *Rabin*-

Karp (KARP; RABIN, 1987); e

3. Constrói a sequência.

7.3 Intruder

Este *benchmark* simula o Design 5 dos NIDS (*Network Intrusion Detection System*) descritos por Haagdorens em (HAAGDORENS; VERMEIREN; GOOSSENS, 2005). Pacotes de rede são processados paralelamente e passam por três fases: captação, remontagem e detecção. A estrutura de dados principal na fase de captura é uma simples fila, e a fase de remontagem utiliza um dicionário (implementado por uma árvore auto balanceada), que contém a lista de pacotes que pertencem à mesma seção. Ao avaliar seus cinco designs para um NIDS *multithread*, Haagdorens afirma que a complexidade da fase de remontagem fez com que ele utilize a sincronização de grãos grosso nos designs 4 e 5. Assim, embora estes dois modelos tentam explorar níveis mais elevados de simultaneidade, a sincronização aproximada de grão resulta em um pior desempenho.

7.4 Kmeans

Este *benchmark* foi tirado do *NU-MineBench 2.0* (PISHARATH et al., 2005). *K-means* é um método baseado em partição (BEZDEK, 1981) e é sem dúvida a técnica de agrupamento mais utilizada. Este algoritmo é comumente usado para partição de itens de dados em subconjuntos relacionados. Cada *thread* processa uma partição dos objetos iterativamente. A versão transacional adiciona uma transação para proteger o update do centro do *cluster* que ocorre durante cada iteração.

7.5 Labyrinth

Dado um labirinto, este *benchmark* encontra os caminhos de menor distância entre os pares de pontos inicial e final. O algoritmo de roteamento utilizado é o algoritmo Lee (LEE, 1961).

Nesse algoritmo, o labirinto é representado como uma grade, em que cada ponto de grade pode conter ligações adjacentes, para os pontos da grade que não estão nas diagonais. O algoritmo busca um caminho mais curto entre os pontos de conexão através da realização de uma busca em largura e marca cada ponto da grade com a sua distância para o início. Esta fase de expansão acabará por chegar ao ponto final, se a conexão for possível. A segunda fase de rastreamento, em seguida, estabelece a ligação, seguindo todo o caminho diminuindo a distância. Este algoritmo é garantido

para encontrar o caminho mais curto entre um ponto inicial e final, no entanto, quando vários caminhos são feitos, um caminho pode bloquear outro.

7.6 SSSA2

Scalable Synthetic Compact Applications 2 (SSSA2) (BADER; MADDURI, 2005) é composta por quatro *kernels* que operam em um grande, dirigido e ponderado gráfico. Estes quatro *kernels* gráficos são comumente usados em aplicações que vão desde a biologia computacional até a segurança. STAMP incide sobre um *Kernel*, que constrói uma estrutura de dados eficiente utilizando matrizes de adjacência e matrizes auxiliares.

7.7 Vacation

Este *benchmark* implementa um sistema de reserva de viagens alimentado por um banco de dados não-distribuído. A carga de trabalho é composto por vários segmentos de clientes que interagem com o banco de dados via gerenciador de transações do sistema.

O banco de dados é composto por quatro tabelas: carros, quartos, voos e clientes. Os três primeiros têm relações com os campos que representam um número único de identificação, quantidade reservada, a quantidade total disponível, e preço. A tabela de clientes acompanha as reservas feitas por cada cliente e o preço total das reservas que eles fizeram. As tabelas são implementados como árvores rubro negras.

7.8 Yada

Este *benchmark* implementa o algoritmo de Ruppert para refinamento de malha (RUPPERT, 1995). A versão transacional é similar em design ao apresentado em (KULKARNI; CHEW; PINGALI, 2006).

8 METODOLOGIA

...

9 DESENVOLVIMENTO

...

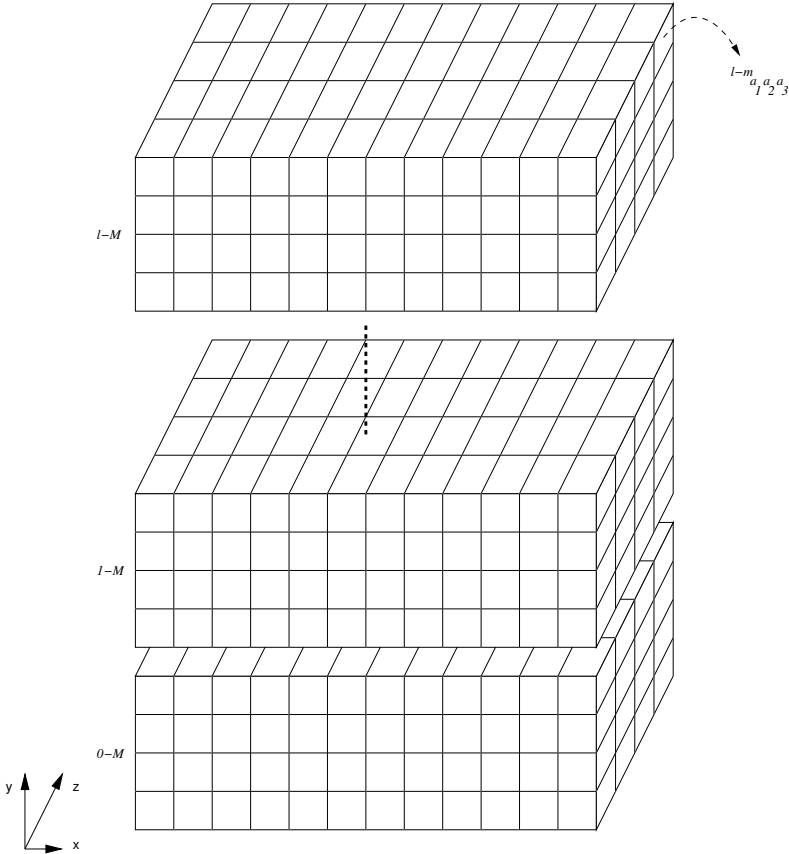


Figura 5 – Nome da figura

10 CONCLUSÃO

...

10.1 Resultados

...

REFERÊNCIAS

BADER, D. A.; MADDURI, K. Design and implementation of the HPCS graph analysis benchmark on symmetric multiprocessors. In: HIGH PERFORMANCE COMPUTING, 12., 2005, Berlin, Heidelberg. **Proceedings...** Springer-Verlag, 2005. p.465–476. (HiPC'05).

BALDASSIN, A. J. **Explorando Memória Transacional em Software nos Contextos de Arquiteturas Assimétricas, Jogos Computacionais e Consumo de Energia**. 2009. Dissertação de Doutorado — Universidade Estadual de Campinas.

BANDEIRA, R. de Leão. **Compilador para a linguagem CMTJava**. 2010. Trabalho de Conclusão de Curso (Bacharelado em Ciência da Computação) — Universidade Federal de Pelotas.

BEZDEK, J. C. **Pattern Recognition with Fuzzy Objective Function Algorithms**. Norwell, MA, USA: Kluwer Academic Publishers, 1981.

CHICKERING, D. M.; HECKERMAN, D.; MEEK, C. A Bayesian approach to learning Bayesian networks with local structure. In: IN PROCEEDINGS OF THIRTEENTH CONFERENCE ON UNCERTAINTY IN ARTIFICIAL INTELLIGENCE, 1997. **Anais...** Morgan Kaufmann, 1997.

DICE, D.; SHALEV, O.; SHAVIT, N. Transactional Locking II. In: DISC 2006, 2006. **Anais...** [S.l.: s.n.], 2006. p.194–208.

FELBER, P.; FETZER, C.; RIEGEL, T. Dynamic Performance Tuning of Word-Based Software Transactional Memory. In: PPOPP '08: PROC. OF THE 13TH ACM SIGPLAN SYMPOSIUM ON PRINCIPLES AND PRACTICE OF PARALLEL PROGRAMMING, 2008, New York, NY, USA. **Anais...** ACM, 2008. p.237–246.

HAAGDORENS, B.; VERMEIREN, T.; GOOSSENS, M. Improving the Performance of Signature-Based Network Intrusion Detection Sensors by Multi-threading. In: INFORMATION SECURITY APPLICATIONS, 2005. **Anais...** [S.l.: s.n.], 2005. p.188–203. (Lecture Notes in Computer Science (LNCS), v.3325).

HARRIS, T.; LARUS, J.; RAJWAR, R. Transactional Memory, 2nd edition. **Synthesis Lectures on Computer Architecture**, [S.l.], v.5, n.1, p.1–263, 2010.

HERLIHY, M.; ELIOT, J.; MOSS, B. Transactional Memory: Architectural Support for Lock-Free Data Structures. In: PROC. OF THE 20TH ANNUAL INTL. SYMPOSIUM ON COMPUTER ARCHITECTURE, 1993. **Anais...** [S.l.: s.n.], 1993. p.289–300.

KARP, R. M.; RABIN, M. O. **Efficient randomized pattern-matching algorithms**.

KULKARNI, M.; CHEW, L. P.; PINGALI, K. Using Transactions in Delaunay Mesh Generation. In: WTW'06: PROCEEDINGS OF THE WORKSHOP ON TRANSACTIONAL MEMORY WORKLOADS, 2006, Ottawa, Canada. **Anais...** [S.l.: s.n.], 2006. p.23–31. (Held in conjunction with PLDI 2006).

LEE, C. Y. An Algorithm for Path Connections and Its Applications. **IRE Transactions on Electronic Computers**, [S.l.], v.EC-10, n.3, p.346–365, Sept 1961.

MINH, C. C.; CHUNG, J.; KOZYRAKIS, C.; OLUKOTUN, K. STAMP: Stanford Transactional Applications for Multi-Processing. In: WORKLOAD CHARACTERIZATION, 2008. IISWC 2008. IEEE INTERNATIONAL SYMPOSIUM ON, 2008. **Anais...** [S.l.: s.n.], 2008. p.35–46.

MOORE, A.; LEE, M. S. Cached Sufficient Statistics for Efficient Machine Learning with Large Datasets. **Journal of Artificial Intelligence Research**, [S.l.], v.8, p.67–91, 1997.

MORESHET, T.; BAHAR, R. I.; HERLIHY, M. Energy-Aware Microprocessor Synchronization: Transactional Memory vs. Locks. In: WORKSHOP ON MEMORY PERFORMANCE ISSUES, 2006. **Proceedings...** [S.l.: s.n.], 2006.

PISHARATH, J. et al. **NU-MineBench**: Understanding the Performance and Scalability Characteristics of Data Mining Algorithms.

RIGO, S.; CENTODUCATTE, P.; BALDASSIN, A. **Memorias Transacionais**: Uma Nova Alternativa para Programação Concorrente. [S.l.]: In Proceedings of the 19th International Symposium on Computer Architecture and High Performance Computing, 2007.

RUPPERT, J. A Delaunay refinement algorithm for quality 2-dimensional mesh generation. **J. Algorithms**, Duluth, MN, USA, v.18, n.3, p.548–585, May 1995.

Apêndices

APÊNDICE A – Um Apêndice

Anexos

ANEXO A – Um Anexo

...

ANEXO B – Outro Anexo

...